

(718) Ni-20Cr-20W合金における α_2 相の析出挙動と高温クリーフ特性との関係

東京工業大学 大学院 ○大村 圭一 (現 石川島播磨重工) 市原 留吉
工学部 松尾 孝 田中 良平

1. 緒言 著者らは先に、Ni-20Cr-20W合金を用い、1000°Cでのクリーフ中に析出する α_2 相の高温クリーフ特性に及ぼす影響とその雰囲気依存性を調べ、粒界での α_2 相の析出は粒界変形及び割れの連結を抑制する上で効果があり、また、クリーフ特性の雰囲気依存性も減少させることを指摘した¹⁾。しかし、これまでの検討は定性的なものであり、 α_2 相の析出挙動に関する知見もいまだ少ない。そこで本研究では、 α_2 相の析出によるクリーフ特性の改善が、粒界において析出 α_2 相の占める割合(以後被覆率と呼ぶ)及び析出量などと密接に関係しているものと推定し、破断材の光顕観察及びSEM観察によりこれらの因子を定量化するとともに、クリーフ抵抗、破断延性及びこれらの雰囲気依存性との対応を調べた。なお、単純時効材についても同様の観察を行い α_2 相の析出挙動に及ぼす応力の影響をも検討した。

2. 実験方法 C無添加のNi-20Cr-20W合金を真空高周波炉で4kg溶製し、熱間鍛造後、1250°C、1hの固溶化熱処理を施し、結晶粒径を約200μmに調整した。クリーフ試験は前報¹⁾と同様に、大気、He及び 5×10^{-6} Torrの真空中で900°C、応力3~10kg/mm²の範囲で行った。また、単純時効は900及び1000°Cで最高3000hまで行った。破断材及び時効材の組織観察及び破面観察は光顕及び走査電顕にて行い、粒界の α_2 相による被覆率は、光顕写真上で約1mm(短時間破断材)~5mm(長時間破断材)の粒界長さについて測定し、 α_2 相が微細な場合にはSEM観察写真での値も参考にして求めた。また析出量は、粒界での α_2 相の個数と幅とを測定し、 α_2 相の形状を橢円体に近似して面積率を算出し、これを体積率と表示した。

3. 結果 i) 900及び1000°Cの破断材では α_2 相の大半が粒界で析出するのに対し単純時効材では粒内にもかなりの α_2 相が析出する。ii) クリーフ破断材より求めた α_2 相の体積率は900及び1000°Cでそれぞれ約10及び50%を超えると急激に増加するが、その増加の度合は900°Cに比べ1000°Cでより大きい(図1)。iii) 図2において、900°Cでの被覆率は約50%を過ぎると著しく増加し1000hでは80%を超えて飽和する傾向を示す。この被覆率の増加は図2(a)において約100h以後に認められるクリーフ速度の減少とよく対応している。また破断伸びも長時間の破断材では大きくこれは被覆率が100h後でもまだ増加の傾向を示していることと対応する。iv) 20W合金において900°Cでのクリーフ挙動の雰囲気依存性は破断時間が50hよりも短いものでは顕著な差異が認められるが100hを超えると減少する。これは α_2 相の被覆率及び体積率が数10%までは大きくは変化せず、破断時間がさらに長くなると増加し始める傾向とよく対応している。

文献 1) 市原、西川、大村、松尾、田中: 鉄と鋼, 66(1980), S563

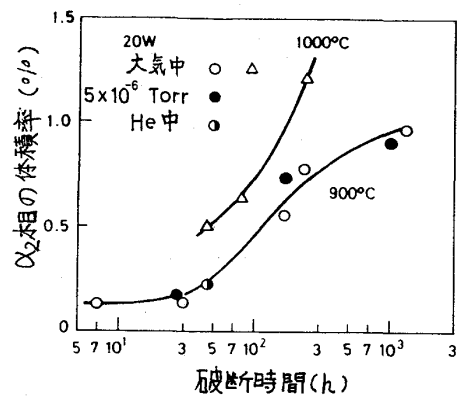


図1. 20W合金の900及び1000°Cでのクリーフ破断材における α_2 相の体積率と破断時間との関係

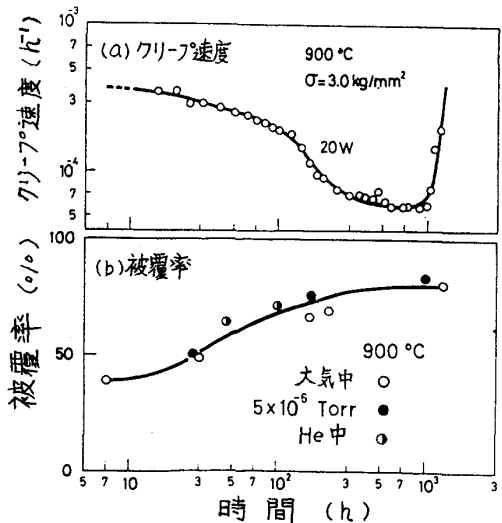


図2. 20W合金の900°C、応力3kg/mm²でのクリーフ速度と破断材における被覆率の変化